

Без рецензії (в авторській інтерпретації)...

ФЕДОТОВ С.П.



КОСМІЧНІ МЕХАНІЗМИ ЖИТТЯ (ЗВ'ЯЗОК ГЕНЕТИЧНОГО КОДУ З ГЕКСАГРАМАМИ)

(ІНФОРМАЦІЯ 3)

Член-кореспондент ГО Національна академія природознавства України
(Санкт-Петербурзьке відділення Далекосхідної академії пульсу, РФ)

Стаття «Простий зв'язок генетичного коду з гексаграммами Книги Змін (І-Цзін)» з використанням положень зі статті «Генетичний код як структура стихій (елементом тов) китайської філософії» висуває гіпотезу про принципи формування діграмм і триграм китайської філософії. Це дає уявлення про діаграми і триграм як інструментах для опису кодонів ДНК і процесу їх взаємодії між собою як незалежних осциляторів (об'єктів, що генерують власні частоти). На основі цієї гіпотези розглядається структура триграм Книги Змін (І-Цзін), властивості Старт і Стоп кодонів і логіка їх розташування в загальному масиві порядку Вень-Вана. Висловлено припущення про зв'язок гексаграмм порядку Вень-Вана з описом пульсового процесу в організмі людини як процесу взаємодії амінокислот, програмованих кодонами на частотному (хвильовому) плані. Додатково проведено порівняльне дослідження властивостей пептидних препаратів Інституту геронтології та біорегуляції (Санкт-Петербург) і схеми добової хвильової активації кодонів.

Ключові слова: комплементарна медицина, акупунктура, рефлексотерапія.

The article "Simple association of the genetic code and hexagrams of the Book of Changes (I-Ching)" is based on the provisions of previous paper "The genetic code as a structure of the Five elements in Chinese philosophy" where the hypothesis regarding the principles of formation of digrams and trigrams in Chinese philosophy are proposed. It allowed to suggest an idea of digrams and trigrams as a tool for description of DNA codons in the process of their interaction, each with others as an independent oscillator (objects, generating its own natural frequency). On the basis of this hypothesis it is considered the logic of structure of trigrams from the Book of Changes (I Ching), the properties Start and Stop codons, and the properties of their position in the general order of the King Wen. It is suggested that hexagrams order of King Wen describes a dynamic of pulse process in the human body as a process of interaction of amino acids which are programmed by codons on the base of frequency (wavelength) peculiarities. In addition, a comparative study of the properties between peptide products (manufactured on the base of research of Institute of Gerontology and Bio-regulation - St. Petersburg) and the scheme of daily activity of codons are represented.

Key words: complementary medicine, acupuncture, reflexotherapy.

Статья «Простая связь генетического кода с гексаграммами Книги Перемен (И-Цзин)» с использованием положений из статьи «Генетический код как структура стихий (элементов) китайской философии» выдвигает гипотезу о принципах формирования диграмм и триграмм китайской философии. Это дает представление о диаграммах и триграммах как инструментах для описания кодонов ДНК и процесса их взаимодействия между собой как независимых осцилляторов (объектов, генерирующих собственные частоты). На основе этой гипотезы рассматривается структура Триграмм Книги Перемен (И-Цзин), свойства Старт и Стоп кодонов и логика их расположения в общем массиве порядка Вэнь-Вана. Высказано предположение о связи гексаграмм порядка Вэнь-Вана с описанием пульсового процесса в организме человека как процесса взаимодействия аминокислот, программируемых кодонами на частотном (волновом) плане. Дополнительно проведено сравнительное исследование свойств пептидных препаратов Института геронтологии и биорегуляции (Санкт-Петербург) и схемы суточной волновой активации кодонов.

Ключевые слова: комплементарная медицина, акупунктура, рефлексотерапия.

Вступ

У статті «Генетичний код як структура стихій (елементів) китайської філософії» була представлена схема зв'язків триплетів ДНК з власними частотами дванадцяти головних акупунктурних меридіанів (мал.1). Показано, що старші основи в триплеті володіють найменшими власними частотами у порівнянні з середніми і молодшими. Середні основи мають середнє положення власних частот між старшими і молодшими. Саме такий частотний розподіл є причиною вираженості генетичного коду, в якому визначальними є старша і середня основа, де нижчі вібрації визначають основний профіль власних частот молекулярної конструкції всього триплету.

	С	А	G	U
Старші основи	Перикард	Товстий кишечник	Жовчний міхур	Нирки
Середні основи	Печінка	** Серце	Тонкий кишечник	Шлунок
Молодші основи	Сечовий міхур	Панкреас	Легені	Три обігрівача

Рис. 1

Розподіл власних частот основ пояснює неканонічні значення триплетів, адже при трансляції власна частота цільової амінокислоти незначно відрізняється від частот програмуючого триплету (наприклад, багато видів зелених водоростей *Acetabularia* транслюють стандартні Стоп-триплети UAG і UAA в амінокислоту гліцин - GGx, а гриб *Candida* інтерпретує РНК-триплет CUG не як лейцин, а як серін - UCx). Відповідно до мал.1 (результати дослідження в статті “Генетичний код як структура елементів китайської філософії”) кожному дванадцятихвилинному відрізьку відповідає одночасна активність трьох акупунктурних меридіанів (мал.2).

С Т И Х И Я Д Е Р Е В А	П О К И	18-19	C-PC	C-LR	C-BL	Пролин (Pro)	С Т И Х И Я	06-07	G-GB	G-SI	G-LU	Гліцин (Gly)
			C-PC	C-LR	A-SP	Пролин (Pro)			G-GB	G-SI	U-TE	Гліцин (Gly)
			C-PC	C-LR	G-LU	Пролин (Pro)			G-GB	G-SI	C-BL	Гліцин (Gly)
			C-PC	C-LR	U-TE	Пролин (Pro)			G-GB	G-SI	A-SP	Гліцин (Gly)
			C-PC	C-LR	C-BL	Пролин (Pro)			G-GB	G-SI	G-LU	Гліцин (Gly)
	С Е Р	19-20	C-PC	A-HT	A-SP	Глутамин (Gln)	Ж Е М Е У Д О Л К А	07-08	G-GB	U-ST	U-TE	Валин (Val)
			C-PC	A-HT	G-LU	Глутамин (Gln)			G-GB	U-ST	C-BL	Валин (Val)
			C-PC	A-HT	U-TE	Гистидин (His)			G-GB	U-ST	A-SP	Валин (Val)
			C-PC	A-HT	C-BL	Гистидин (His)			G-GB	U-ST	G-LU	Валин (Val)
			C-PC	A-HT	A-SP	Глутамин (Gln)			G-GB	U-ST	U-TE	Валин (Val)
	Д Ц Е	20-21	C-PC	G-SI	G-LU	Аргинин (Arg)	Т Д О Л К А	08-09	G-GB	C-LR	C-BL	Аланин (Ala)
			C-PC	A-HT	A-SP	Глутамин (Gln)			G-GB	U-ST	U-TE	Валин (Val)
			C-PC	G-SI	G-LU	Аргинин (Arg)			G-GB	C-LR	C-BL	Аланин (Ala)
			C-PC	G-SI	U-TE	Аргинин (Arg)			G-GB	C-LR	A-SP	Аланин (Ala)
			C-PC	G-SI	C-BL	Аргинин (Arg)			G-GB	C-LR	G-LU	Аланин (Ala)
	Т Р И О Б О Г Р Е В.	21-22	C-PC	G-SI	A-SP	Аргинин (Arg)	П А Н К Р Е А	09-10	G-GB	C-LR	U-TE	Аланин (Ala)
			C-PC	G-SI	G-LU	Аргинин (Arg)			G-GB	C-LR	C-BL	Аланин (Ala)
			C-PC	U-ST	U-TE	Лейцин (Le)			G-GB	A-HT	A-SP	Глутаминовая кислота (Glu)
			C-PC	U-ST	C-BL	Лейцин (Le)			G-GB	A-HT	G-LU	Глутаминовая кислота (Glu)
			C-PC	U-ST	A-SP	Лейцин (Le)			G-GB	A-HT	U-TE	Аспарагиновая кислота (Asp)
С Т И Х И Я О Г Н Я	22-23	C-PC	U-ST	G-LU	Лейцин (Le)	Р Е А	10-11	G-GB	A-HT	C-BL	Аспарагиновая кислота (Asp)	
		C-PC	U-ST	U-TE	Лейцин (Le)			G-GB	A-HT	A-SP	Глутаминовая кислота (Glu)	
		C-PC	C-LR	C-BL	Пролин (Pro)			G-GB	G-SI	G-LU	Гліцин (Gly)	
		C-PC	C-LR	A-SP	Пролин (Pro)			G-GB	G-SI	U-TE	Гліцин (Gly)	
		C-PC	C-LR	G-LU	Пролин (Pro)			G-GB	G-SI	C-BL	Гліцин (Gly)	
С Т И Х И Я О Г Н Я Л Е Г К И С З Т Е И М Х Л И И Я	Ж П Е У Л З Ч Ы Н Ы Ы	23-00	A-LI	A-HT	A-SP	Лизин (Lys)	С Т И Х И Я В О Н Ш Д К Е Ы И К М П О У Ч З Е Ы В Р О И Н Х И С Я	11-12	U-KI	U-ST	U-TE	Фенилаланин (Phe)
			A-LI	A-HT	G-LU	Лизин (Lys)			U-KI	U-ST	C-BL	Фенилаланин (Phe)
			A-LI	A-HT	U-TE	Аспарагин (Asn)			U-KI	U-ST	A-SP	Лейцин (Leu)
			A-LI	A-HT	C-BL	Аспарагин (Asn)			U-KI	U-ST	G-LU	Лейцин (Leu)
			A-LI	A-HT	A-SP	Лизин (Lys)			U-KI	U-ST	U-TE	Фенилаланин (Phe)
	00-01	A-LI	G-SI	G-LU	Аргинин (Arg)	12-13		U-KI	C-LR	C-BL	Серин (Ser)	
		A-LI	A-HT	A-SP	Лизин (Lys)			U-KI	U-ST	U-TE	Фенилаланин (Phe)	
		A-LI	G-SI	G-LU	Аргинин (Arg)			U-KI	C-LR	C-BL	Серин (Ser)	
		A-LI	G-SI	U-TE	Серин (Ser)			U-KI	C-LR	A-SP	Серин (Ser)	
		A-LI	G-SI	C-BL	Серин (Ser)			U-KI	C-LR	G-LU	Серин (Ser)	
	01-02	A-LI	G-SI	A-SP	Аргинин (Arg)	13-14		U-KI	C-LR	U-TE	Серин (Ser)	
		A-LI	G-SI	G-LU	Аргинин (Arg)			U-KI	C-LR	C-BL	Серин (Ser)	
		A-LI	U-ST	U-TE	Изолейцин (Ile)			U-KI	A-HT	A-SP	Стоп (Stop)	
		A-LI	U-ST	C-BL	Изолейцин (Ile)			U-KI	A-HT	G-LU	Стоп (Stop)	
		A-LI	U-ST	A-SP	Изолейцин (Ile)			U-KI	A-HT	U-TE	Тирозин (Uyr)	
02-03	A-LI	U-ST	G-LU	Метионин (Met) Start	14-15	U-KI	A-HT	C-BL	Тирозин (Uyr)			
	A-LI	U-ST	U-TE	Изолейцин (Ile)		U-KI	A-HT	A-SP	Стоп (Stop)			
	A-LI	C-LR	C-BL	Пролин (Pro)		U-KI	G-SI	G-LU	Гліцин (Gly)			
	A-LI	U-ST	U-TE	Фенилаланин (Phe)		U-KI	A-HT	A-SP	Стоп (Stop)			
	A-LI	C-LR	C-BL	Треонин (Uhr)		U-KI	G-SI	G-LU	Триптофан (Urp)			
03-04	A-LI	C-LR	A-SP	Треонин (Uhr)	15-16	U-KI	G-SI	U-TE	Цистеин (Cys)			
	A-LI	C-LR	G-LU	Треонин (Uhr)		U-KI	G-SI	C-BL	Цистеин (Cys)			
	A-LI	C-LR	U-TE	Треонин (Uhr)		U-KI	G-SI	A-SP	Стоп (Stop)			
	A-LI	C-LR	C-BL	Треонин (Uhr)		U-KI	G-SI	G-LU	Триптофан (Urp)			
	A-LI	A-HT	A-SP	Лизин (Lys)		U-KI	U-ST	U-TE	Фенилаланин (Phe)			
04-05	G-GB	G-SI	G-LU	Гліцин (Gly)	16-17	C-PC	C-LR	C-BL	Пролин (Pro)			
	G-GB	G-SI	U-TE	Гліцин (Gly)		C-PC	C-LR	A-SP	Пролин (Pro)			
	G-GB	G-SI	C-BL	Гліцин (Gly)		C-PC	C-LR	G-LU	Пролин (Pro)			
	G-GB	G-SI	A-SP	Гліцин (Gly)		C-PC	C-LR	U-TE	Пролин (Pro)			
	G-GB	G-SI	G-LU	Гліцин (Gly)		C-PC	C-LR	C-BL	Пролин (Pro)			
05-06	A-LI	A-HT	A-SP	Лизин (Lys)	17-18	U-KI	U-ST	U-TE	Фенилаланин (Phe)			
	A-LI	A-HT	G-LU	Лизин (Lys)		U-KI	U-ST	C-BL	Фенилаланин (Phe)			
	A-LI	A-HT	U-TE	Аспарагин (Asn)		U-KI	U-ST	A-SP	Фенилаланин (Phe)			
	A-LI	A-HT	C-BL	Аспарагин (Asn)		U-KI	U-ST	G-LU	Фенилаланин (Phe)			
	A-LI	A-HT	A-SP	Лизин (Lys)		U-KI	U-ST	U-TE	Фенилаланин (Phe)			

Мал.2. де позначення меридіанів наступні: *Стихія Дерева*: Інь Дерева - Печінка LR; - Ян Дерева - Жовчний міхур GB; *Стихія Вогню*: Інь Вогню - Серце HT; Ян Вогню - Тонкий кишечник SI; *Стихія Землі*: Інь Землі - Селезінка SP; Ян Землі - Шлунок ST; *Стихія Металу*: Інь Металу - Легкі - LU; Ян Металу - Товстий кишечник - LI; *Стихія Води*: Інь Води - Нирки - KI; - Ян Води - Січовий міхур BL; *Стихія Вогню-Міністра*: Інь Вогню-Міністра - Перікард - PC; - Ян Вогню-Міністра - Потрійний обігрівач (Кров) - TE

Одночасна участь власних частот трьох меридіанів в коливальному процесі триплета обумовлена тривимірністю нашого простору. Миттєвий вектор сили циклічно розтягує і стискує простір розташування триплета, розкладається на три взаємно-ортогональних вектора і обумовлює динамічну стереометрію молекулярної конструкції. Описом таких молекулярних конструкцій ДНК в даний час розробляє (1) в своїй теорії “Молекулярної векторної машини“. Стає зрозумілою залежність геометрії ДНК від зовнішніх провідних коливань. Ми є породженням Космосу і регулярна зміна частотного фону довкілля внаслідок Допплерівського ефекту обумовлює просторову будову всіх складних молекулярних конструкцій. При цьому цілісність і взаємозв'язок усіх частин організму забезпечується циклічною послідовністю спектрів вібрацій навколишнього середовища. Як тільки наші вібрації виходять з резонансу з коливаннями зовнішнього середовища, виникають сили, що розтягують або стискають молекулярні конструкції і на фізичному рівні викликають розриви тканин і пошкодження клітинних структур організму.

З цієї точки зору хвороби і старість є наслідком неузгодженості ритмів організму з ритмами довкілля, що супроводжується втратою енергії власних коливань. А без власної енергії коливань життя неможливе, оскільки зникає можливість клітинних структур підтримувати нормальну зміну фаз анаболізму і катаболізму, колективне існування яких по своїй суті є процесом життя. Таким чином, завданням зцілення хворого є відновлення процесів балансу ритмів всього спектра коливальних процесів організму. При цьому звернемо увагу, що результатом пульсової діагностики (пульсовий метаболічний аналіз - ПМА) виступає баланс біоритмів, де кожен ритм пов'язаний з одним з 12 акупунктурних меридіанів. Кожен меридіан є маніфестацією енергії миттєвого вектора, який бере участь у формуванні тензора організму як точки простору (6 векторів, що сходяться до центру організму і 6 векторів, що надають зустрічну реакцію на зовнішнє стиснення).

Правила управління активністю триплетів ДНК за допомогою акупунктурних меридіанів

На основі пульсового аналізу з урахуванням відповідностей мал.1-2, маємо можливість превентивної корекції коливальних процесів з метою відновлення балансу енергії всіх 12 векторів (меридіанів). Очевидно, що без відповідної корекції постраждають системи, частотна енергія яких буде найменшою. Просто відповідні триплети ДНК не отримають в просторі кількісного представництва, в результаті чого синтез певних білків стане неможливим і поставить під загрозу процес життя. Покажемо на прикладі, як користуватися таблицею мал.2.

Припустимо, ПМА показав дефіцит енергії меридіана Серця (HT). Його власні частоти пов'язані з середньою азотистистою основою триплетів ДНК, якщо такою основою буде Аденозін. Звернувшись до таблиці (мал.2) виявимо, що частоти меридіана Серця (HT) беруть участь в наступні періоди: 19-21 годин в час активності Глутаміну (CAx); 23-01 годин в час активності Лізину і Аспарагіну (AAx); 03-04 годин в час активності Лізину (AAA; AAG); 05-06 годин в час активності Лізину і Аспарагіну (AAx); 09-11 годин в час активності Глутамінової та Аспарагінової кислот (GAx); 13-15 годин в час активності Тирозину і Стоп-триплетів UAA і UAG.

Відповідно всі системи організму, пов'язані з функціонуванням наведених амінокислот, будуть порушені, в тому числі і функціонування Стоп-триплетів, які мають відношення до неконтрольованого розмноження ракових клітин.

В даній ситуації корекція дефіциту частоти меридіана Серця (НТ) повинна здійснюватися заповненням дефіциту Глутаміну, Лізину, Глутамінової та Аспарагінової кислот і Тирозину (матеріальних носіїв власних частот меридіана Серця-НТ) за допомогою акупунктурної тонізації точки РС-9 (коли активний Аденозін-А знаходиться в середині будь-якого триплету – польової ефірної структури коливального процесу, що супроводжується електромагнітними явищами). Крім впливу на акупунктурну точку РС-9 можемо використати пригнічення вібрацій Урацилу в середині триплетів (U - власні частоти меридіана Шлунка в наведеному випадку) і в системах, що здвинуті в добовій циркуляції на 180° щодо Аденозину (А) меридіана Серця (НТ), тобто використовувати акупунктурне правило "Південь—Північ".

Для пригнічення активності частот меридіана Шлунка-ST (відповідно Китайській Традиційній Медицині) використовують точку ST-45. Якби ми мали надлишок енергії коливаний меридіана Серця, то повинні були б використовувати точку РС-7 (седатацію меридіана Серця-НТ в періоди активності Аденозіна в середині триплетів) і точку ST-41 (тонізації меридіана Шлунка-ST в періоди активності Урацила в середині триплету).

Зв'язок триплетів ДНК з гексаграммами порядку Фу-Сі Китайської філософії

Зв'язок триплетів ДНК з гексаграммами китайської філософії намагалося встановити багато зацікавлених, починаючи з моменту відкриття генетичного коду. До цього підштовхує спільність комбінацій чотирьох азотистих основ і двох типів "рис" в гексаграмах (число комбінацій елементів в триплеті і гексаграмах однаково і дорівнює 64). При цьому жоден з авторів не запропонував вірогідної моделі співвідносності триплетів з гексаграммами (немає практичного результату застосування). Причиною цього є ігнорування фізичних властивостей процесу: доплерівського ефекту, єдиним параметром якого є зміна щільності ефірного середовища в часі і частоти власних коливаний об'єктів занурених в середовище (чим вище його щільність, тим вища частота власних коливаний).

Такий ефект добре знайомий водолазам, коли внаслідок збільшення тиску підвищується тон голосу до меж, потребуючих спеціальної апаратури для перетворення октав мови з високих частот до нормальних рівнів сприйняття людським вухом. Тому люба числова система повинна мати конкретний фізичний сенс, тобто математичний апарат повинен бути використаним як цифрова модель фізичного процесу, а не навпаки (коли на властивості математичної конструкції "натягують" опис фізичного процесу, не розуміючи що цей процес з себе представляє).

Таким чином, будь-яка числова система повинна мати конкретний фізичний зміст, тобто математичний апарат повинен застосовуватися як цифрова модель фізичного процесу, а не навпаки, коли на властивості математичної конструкції намагаються "натягнути" опис фізичного процесу, навіть не маючи поняття про його сутність. Прикладом такої безуспішності є абстрактний математичний опис набору гексаграмм Фу-Сі (мал.3), створений С.В. Петуховим (2). Очевидно, автор схеми відповістей на мал.3 став заручником формальної логіки властивостей бінарного числового ряду.

В силу своїх наукових інтересів в області симетрій, автор підігнав схему гексаграм порядку Фу-Сі під красиву симетричну схему відповідностей триплетів. Однак ми дотримуємося іншого погляду і розглядаємо бінарну систему гексаграмм і зошитову систему азотистих основ як систему числення деякого фізичного параметра. У нашому випадку ми оцінюємо частоти власних коливань, які прямо пропорційні тиску ефіру в розглянутій точці простору (мал.4).

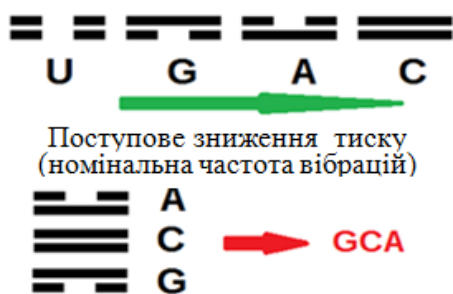
	111	110	101	100	011	010	001	000
111	CCC 111111 63	CCA 111110 62	CAC 111101 61	CAA 111100 60	ACC 111011 59	ACA 111010 58	AAC 111001 57	AAA 111000 56
110	CCU 110111 55	CCG 110110 54	CAU 110101 53	CAG 110100 52	ACU 110011 51	ACG 110010 50	AAU 110001 49	AAG 110000 48
101	CUC 101111 47	CUA 101110 46	CGC 101101 45	CGA 101100 44	AUC 101011 43	AUA 101010 42	AGC 101001 41	AGA 101000 40
100	CUU 100111 39	CUG 100110 38	CGU 100101 37	CGG 100100 36	AUU 100011 35	AUG 100010 34	AGU 100001 33	AGG 100000 32
011	UCC 011111 31	UCA 011110 30	UAC 011101 29	UAA 011100 28	GCC 011011 27	GCA 011010 26	GAC 011001 25	GAA 011000 24
010	UCU 010111 23	UCG 010110 22	UAU 010101 21	UAG 010100 20	GCU 010011 19	GCG 010010 18	GAU 010001 17	GAG 010000 16
001	UUC 001111 15	UUA 001110 14	UGC 001101 13	UGA 001100 12	GUC 001011 11	GUA 001010 10	GGC 001001 9	GGA 001000 8
000	UUU 000111 7	UUG 000110 6	UGU 000101 5	UGG 000100 4	GUU 000011 3	GUG 000010 2	GGU 000001 1	GGG 000000 0

Мал.3

Кожна позиція в триплеті має розряд-основу (старшу, середню, молодшу) і кожен розряд може приймати одне з чотирьох значень, які формують наступну ієрархію з точки зору власної частоти в порядку її збільшення: C,A,G,U - тобто Цитозин (C) має саму низьку власну частоту в розряді, Урацил (U) - найвищу, а Аденил (A) і Гуанін (G) знаходяться в проміжному положенні. Якщо уявити значен-

ВЕРХ→ НИЗ↓	111 ☰ ЦЯНЬ	110 ☱ ДУЙ	101 ☶ ЛИ	100 ☵ ЧЖЭНЬ	011 ☲ СЮНЬ	010 ☴ КАНЬ	001 ☳ ГЭНЬ	000 ☷ КУНЬ
111 ☰ ЦЯНЬ	111111 ☰ 63	111110 ☱ 62	111101 ☶ 61	111100 ☵ 60	111011 ☲ 59	111010 ☴ 58	111001 ☳ 57	111000 ☷ 56
110 ☱ ДУЙ	110111 ☱ 55	110110 ☱ 54	110101 ☶ 53	110100 ☵ 52	110011 ☲ 51	110010 ☴ 50	110001 ☳ 49	110000 ☷ 48
101 ☶ ЛИ	101111 ☱ 47	101110 ☱ 46	101101 ☶ 45	101100 ☵ 44	101011 ☲ 43	101010 ☴ 42	101001 ☳ 41	101000 ☷ 40
100 ☵ ЧЖЭНЬ	100111 ☱ 39	100110 ☱ 38	100101 ☶ 37	100100 ☵ 36	100011 ☲ 35	100010 ☴ 34	100001 ☳ 33	100000 ☷ 32
011 ☲ СЮНЬ	011111 ☱ 31	011110 ☱ 30	011101 ☶ 29	011100 ☵ 28	011011 ☲ 27	011010 ☴ 26	011001 ☳ 25	011000 ☷ 24
010 ☴ КАНЬ	010111 ☱ 23	010110 ☱ 22	010101 ☶ 21	010100 ☵ 20	010011 ☲ 19	010010 ☴ 18	010001 ☳ 17	010000 ☷ 16
001 ☳ ГЭНЬ	001111 ☱ 15	001110 ☱ 14	001101 ☶ 13	001100 ☵ 12	001011 ☲ 11	001010 ☴ 10	001001 ☳ 9	001000 ☷ 8
000 ☷ КУНЬ	000111 ☱ 7	000110 ☱ 6	000101 ☶ 5	000100 ☵ 4	000011 ☲ 3	000010 ☴ 2	000001 ☳ 1	000000 ☷ 0

Мал.4, де бінарні значення мають наступні відповідності за системою гексаграм Фу-Сі.



Мал. 5

ня кожної азотистої основи в бінарному вигляді, ми отримаємо наступну схему відповідностей діграмм (молодший розряд діграми вгору; мал.5). На мал.5 також показаний механізм формування гексаграм бінарної системи зчислення з запису зошитиної системи зчислення триплетів. Як і в традиційній китайській філософії, гексаграми читають від низу до верху, від старших (низько частотних

розрядів) до молодших (високо частотних).

Таким чином нам легко встановити відповідність триграм порядку Фу-Сі з кожним триплетом ДНК. На фізичному рівні послідовність триграм Фу-Сі є простою схемою відображення монотонного підвищення тиску (частоти) в просторі від найнижчої частоти (гексаграма Цянь - Небо ☰, білий колір, найменша щільність середовища) до найвищої частоти (гексаграма Кунь - Земля ☷, чорний колір, максимальна щільність середовища, чорна діра). Природно, властивості амінокислот триплетів будуть залежати від положення на шкалі тиску (мал.6).

Високий тиск ефіру сприяє витісненню електронів з середовища і прояву кислотних властивостей матеріальних частинок. Активізуються процеси окислення з виділенням енергії тепла (стискувані тіла нагріваються). Це є перевага фази катаболічних процесів.

Низький тиск забезпечує приплив електронів в середовище, активуються відновні процеси з поглинанням енергії тепла (тіла

що розширюються – охолоджуються). Це фаза переваги анаболічних процесів. Подивимося на диспозицію кислих і лужних амінокислот в таблиці Фу-Сі (мал.7).

Як бачимо, теоретичне припущення про місце кислотних (відмічено червоним кольором) і основних (відмічені синім кольором) триплетів підтверджується. Перша половина таблиці характеризується низьким ефірним тиском і припливом електронів, які обумовлюють надмірність негативних зарядів. У другій

верх низ	☰	☱	☲	☳	☴	☵	☶	☷
☰	CCC ☰ 1	CCA ☱ 43	CCG ☲ 14	CCU ☳ 34	CAC ☴ 9	CAA ☵ 5	CAG ☶ 26	CAU ☷ 11
☱	CGC ☰ 10	CGA ☱ 58	CGG ☲ 38	CGU ☳ 54	CUC ☴ 61	CUA ☵ 60	CUG ☶ 41	CUU ☷ 19
☲	ACC ☰ 13	ACA ☱ 49	ACG ☲ 30	ACU ☳ 55	AAC ☴ 37	AAA ☵ 63	AAG ☶ 22	AAU ☷ 36
☳	AGC ☰ 25	AGA ☱ 17	AGG ☲ 21	AGU ☳ 51	AUC ☴ 42	AUA ☵ 3	AUG ☶ 27	AUU ☷ 24
☴	GCC ☰ 44	GCA ☱ 28	GCG ☲ 50	GCU ☳ 32	GAC ☴ 57	GAA ☵ 48	GAG ☶ 18	GAU ☷ 46
☵	GGC ☰ 6	GGA ☱ 47	GGG ☲ 64	GGU ☳ 40	GUC ☴ 59	GUA ☵ 29	GUG ☶ 4	GUU ☷ 7
☶	UCC ☰ 33	UCA ☱ 31	UCG ☲ 56	UCU ☳ 62	UAC ☴ 53	UAA ☵ 39	UAG ☶ 52	UAU ☷ 15
☷	UGC ☰ 12	UGA ☱ 45	UGG ☲ 35	UGU ☳ 16	UUC ☴ 20	UUA ☵ 8	UUG ☶ 23	UUU ☷ 2

Мал. 6

верх низ	☰	☱	☲	☳	☴	☵	☶	☷
☰	CCC ☰ 1	CCA ☱ 43	CCG ☲ 14	CCU ☳ 34	CAC ☴ 9	CAA ☵ 5	CAG ☶ 26	CAU ☷ 11
☱	CGC ☰ 10	CGA ☱ 58	CGG ☲ 38	CGU ☳ 54	CUC ☴ 61	CUA ☵ 60	CUG ☶ 41	CUU ☷ 19
☲	ACC ☰ 13	ACA ☱ 49	ACG ☲ 30	ACU ☳ 55	AAC ☴ 37	AAA ☵ 63	AAG ☶ 22	AAU ☷ 36
☳	AGC ☰ 25	AGA ☱ 17	AGG ☲ 21	AGU ☳ 51	AUC ☴ 42	AUA ☵ 3	AUG ☶ 27	AUU ☷ 24
☴	GCC ☰ 44	GCA ☱ 28	GCG ☲ 50	GCU ☳ 32	GAC ☴ 57	GAA ☵ 48	GAG ☶ 18	GAU ☷ 46
☵	GGC ☰ 6	GGA ☱ 47	GGG ☲ 64	GGU ☳ 40	GUC ☴ 59	GUA ☵ 29	GUG ☶ 4	GUU ☷ 7
☶	UCC ☰ 33	UCA ☱ 31	UCG ☲ 56	UCU ☳ 62	UAC ☴ 53	UAA ☵ 39	UAG ☶ 52	UAU ☷ 15
☷	UGC ☰ 12	UGA ☱ 45	UGG ☲ 35	UGU ☳ 16	UUC ☴ 20	UUA ☵ 8	UUG ☶ 23	UUU ☷ 2

Мал. 7

знаходяться кислі амінокислоти, обумовлені витісненням електронів з середовища і проявом окислювальних процесів.

Логіка гексаграмного порядку Вень-Вана з Книги Змін (І-Цзін)

На тему гексаграм Книги Змін написано багато літератури з сумнівною практичною користю. Наші ж дослідження дають підстави стверджувати, що порядок Вень-Вана описує перехідні процеси в замкнутій системі, що складається з набору 64 типів осциляторів, представлених гексаграммами Фу-Сі. Номер гексаграми в порядку Вень-Вана вказує на найбільш активний осцилятор системи в певний момент часу, тобто порядок Вень-Вана це шкала часу деякого фізичного процесу (зміни активності осциляторів системи, де кожен осцилятор взаємодіє з усіма іншими в частині поглинання і випромінювання енергії коливальних). Отже, в порядку Вень-Вана повинен бути певний закон активзації триплетів, щоб максимально зберігався потенціал взаємодії: тобто має простежуватися чередування триплетів з високими і низькими частотами, які будуть стимулювати перерозподіл енергії від високо частотного осцилятора (де тиск більше) до низько частотного (де тиск нижче). Спробуємо розглянути порядок Вень-Вана з точки зору розподілу тиску, супроводжуючого коливальні процеси триплетів.

Верх низ ↓	☰	☱	☲	☳	☴	☵	☶	☷
☰	CCC ☰ 32 1	CCA ☱ 31 43	CCG ☲ 30 14	CCU ☳ 29 34	CAC ☴ 28 9	CAA ☵ 27 5	CAG ☶ 26 26	CAU ☷ 25 11
☱	CGC ☰ 24 10	CGA ☱ 23 58	CGG ☲ 22 38	CGU ☳ 21 54	CUC ☴ 20 61	CUA ☵ 19 60	CUG ☶ 18 41	CUU ☷ 17 19
☲	ACC ☰ 16 13	ACA ☱ 15 49	ACG ☲ 14 30	ACU ☳ 13 55	AAC ☴ 12 37	AAA ☵ 11 63	AAG ☶ 10 22	AAU ☷ 9 36
☳	AGC ☰ 8 25	AGA ☱ 7 17	AGG ☲ 6 21	AGU ☳ 5 51	AUC ☴ 4 42	AUA ☵ 3 3	AUG ☶ 2 27	AUU ☷ 1 24
☴	GCC ☰ -1 44	GCA ☱ -2 28	GCG ☲ -3 50	GPU ☳ -4 32	GAC ☴ -5 57	GAA ☵ -6 48	GAG ☶ -7 18	GAU ☷ -8 46
☵	GGC ☰ -9 6	GGA ☱ -10 47	GGG ☲ -11 64	GGU ☳ -12 40	GUC ☴ -13 59	GUA ☵ -14 29	GUG ☶ -15 4	GUU ☷ -16 7
☶	UCC ☰ -17 33	UCA ☱ -18 31	UCG ☲ -19 56	UCU ☳ -20 62	UAC ☴ -21 53	UAA ☵ -22 39	UAG ☶ -23 52	UAU ☷ -24 15
☷	UGC ☰ -25 12	UGA ☱ -26 45	UGG ☲ -27 35	UGU ☳ -28 16	UUC ☴ -29 20	UUA ☵ -30 8	UUG ☶ -31 23	UUU ☷ -32 2

Мал. 8 (показані початкові точки відліку щільності (між кодоном AUU і GCC знаходиться нуль системи).

Для цього монотонно змінну послідовність опцій щільності (представленою безліччю Фу-Сі) розділимо на дві групи щодо середнього (нульового) значення. В даному випадку “нуль щільності” системи розташовується між триплетами AUU і GCC. Визначимо величину тиску кожної гексаграми щодо цього репера в полі позитивних значень від 1 до 32, а в полі негативних - від -1 до -32, як це показано чорними цифрами

на мал. 8 (червоні цифри нумерують гексаграми в порядку Вень-Вана Книги Змін) і побудуємо таблицю відповідностей порядку гексаграмм Вень-Вана щодо нуля системи.

Як було відзначено дослідниками І-Цзін, гексаграми в порядку Вень-Вана спарені за ознакою парності і непарності (тобто ми будемо мати дві послідовності). Протиставимо їх за правилом Ін-Ян (мал.9). У стовпчику «Рівні взаємної компенсації» (на мал.9 крайній справа) показані результати підсумку між густиною тиску спарених гексаграмм порядку Вень-Вана. Як видно, 8 пар гексаграмм отримали повну миттєву взаємну компенсацію (нулі в жовтих клітинках). Це є ознакою їх незалежності від інших осциляторів системи, які мають повну компенсацію тільки на рівні одночасної взаємодії 4 осциляторів (праворуч від таблиці показані зв'язки компенсації).

Зв'язки з найбільшою відмінністю у часі представлені на гексаграмах 21 (Стиснуті зуби), 22 (Оздоблення), 47 (Виснаження) і 48 (Колодязь) і всі вони, згідно Кни-

ги змін, самі по собі несуть негативний відтінок. Це самий нестійкий зв'язок взаємної компенсації і перенесення енергії взаємодії між пов'язаними з цими гексаграммами триплетів (AAG,AGG,GAA і GGA), який може бути легко порушено. Це не дивно, оскільки ці дві пари мають активність поблизу нульової лінії, де концентруються всі перешкоди навколишнього середовища. Таким чином, порядок Вень-Вана наочно показує функціональну замкнутість системи осциляторів, де процеси випромінювання і поглинання енергій між осциляторами ідеально збалансовані всередині циклу збудження.

NN	Название гексаграммы	Номер нечетной (Ян) гексаграммы	Давление (Ян)	Давление (Инь)	Номер четной (Инь) гексаграммы	Название гексаграммы	Уровни взаимной компенсации
1	Творчество	1	32	-32	2	Исполнение	0
2	Начальная трудность	3	3	-15	4	Недоразвитость	-12
3	Необходимость ждать	5	27	-9	6	Суд	18
4	Войско	7	-16	-30	8	Приближение	-46
5	Воспитание малым	9	28	24	10	Наступление	52
6	Расцвет	11	25	-25	12	Упадок	0
7	Единомышленники	13	16	30	14	Обладание великим	46
8	Смирение	15	-24	-28	16	Вольность	-52
9	Последование	17	7	-7	18	Исправление	0
10	Посещение	19	17	-29	20	Созерцание	-12
11	Стиснутые зубы	21	6	10	22	Убранство	16
12	Разрушение	23	-31	1	24	Возврат	-30
13	Непорочность	25	8	26	26	Воспитание великим	34
14	Питание	27	2	-2	28	Переразвитие великого	0
15	Повторная опасность	29	-14	14	30	Сияние	0
16	Взаимодействие	31	-18	-4	32	Постоянство	-22
17	Бегство	33	-17	29	34	Мощь великого	12
18	Восход	35	-27	9	36	Поражение света	-18
19	Домашние	37	12	22	38	Разлад	34
20	Препятствие	39	-22	-12	40	Разрешение	-34
21	Убыль	41	18	4	42	Приумножение	22
22	Выход	43	31	-1	44	Перечение	30
23	Воссоединение	45	-26	-8	46	Подъем	-34
24	Истощение	47	-10	-6	48	Колодец	-16
25	Смена	49	15	-3	50	Жертвенник	12
26	Возбуждение	51	5	-23	52	Сосредоточенность	-18
27	Течение	53	-21	21	54	Невеста	0
28	Изобилие	55	13	-19	56	Странствие	-6
29	Проникновение	57	-5	23	58	Радость	18
30	Раздробление	59	-13	19	60	Ограничение	6
31	Внутренняя правда	61	20	-20	62	Переразвитие малого	0
32	Уже конец	63	11	-11	64	Еще не конец	0
1	Творчество	1	32	-32	2	Исполнение	0
2	Начальная трудность	3	3	-15	4	Недоразвитость	-12
3	Необходимость ждать	5	27	-9	6	Суд	18

Мал. 9

Чудові якості Інь і Ян систем порядку Вень-Вана

Розглянемо графік зміни тиску для Інь (парної) і Ян (непарної) систем гексаграм (мал.10). Які чудові речі ми бачимо?

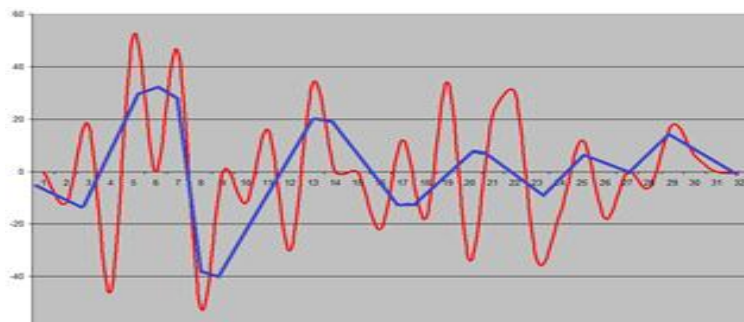
- Супер резонанс системи і максимальний прояв активності чотирьох головних стихій: Дерева (триплет ССС), Вогню (триплет ААА), Металу (триплет GGG), Води (триплет UUU). При цьому взаємна компенсація ААА і GGG формує основний (лужної) базис системи, а ССС і UUU - кислотний. Це означає, що між 64 і 1 гексаграмми відбувається максимальна взаємодія між кислотними і основними паттернами системи.

- В середині послідовності активації осциляторів знаходиться “спокійне вікно”, де не відбувається різкої зміни полярності частот (тиску) як Янській, так і Іньської послідовності. Виходить, що це єдиний час, коли ДНК має можливість провести успішну реплікацію без ризику отримати пошкодження від різкої зміни параметрів навколишнього середовища.

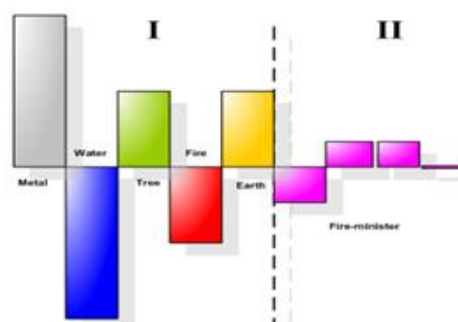


Мал. 10

Фізичний процес порядку Вень-Вана



Мал. 11



Мал. 12

Підсумовуємо графіки Інь і Ян послідовності на мал.10 і згладимо його. Згладжена синя лінія має схожість з теоретичної формою пульсової хвилі, яка застосовується в пульсовому метаболічному аналізі вже два десятки років (мал.11,12).

Додаткове підтвердження вірності схеми добової циркуляції (мал. 2) в розрізі триплетів ДНК.

В методичних рекомендаціях (13) Санкт-Петербурзького інституту біорегуляції і геронтології СЗО РАМН наводиться амінокислотний склад препаратів, розроблених колективом Інституту. Співставимо їх склад з метою оцінки значення амінокислот для органів і систем в процесі корекційного впливу на організм. Звертає увагу вміст в кожному препараті Глутамінової (GAA, GAG) і Аспарагінової кислот (GAG, GAU).

Вище (мал.7) ми показали, що дані амінокислоти владіють кислотними властивостями, в наслідок чого будь-яка інша амінокислота може утворювати з ними стійкі кон'югати, що технічно дозволяє використовувати їх в якості носіїв. Уявімо

результати порівняння у вигляді таблиці (мал.13).

№ п/п	Назва, призначення препарату і амінокислотний склад	Інтерпретація властивостей препаратів згідно якостей триплетів ДНК в таблиці на мал. 12
1	<i>Везуген</i> (підвищення функціональної активності судин). Склад: Лізин, Глутамінова та Аспарагінова кислоти.	<i>Лізин</i> (AAC,AAA,AAG, AAU) - по старшій і середній основі це активність меридіанів Товстого кишечника і Серця, які пов'язані зі стихією Вогню; по молодшій основі це активність Сечового міхура, Панкреас, Легені і Трьох обігрівачів. За розташуванням в добовій циркуляції Лізин резонує в період активності жовчного міхура (з 23.00 до 01.00). У жовчному міхурі Лізин стимулює анаболічну фазу, тим самим знімаючи навантаження з Серця (Жовчний міхур входить в одну систему меридіанів з Серцем і стоїть в порядку породження відразу після Серця). <i>Висновок:</i> Даний препарат здатний нормалізувати функції Серця. Однак вибір Гістидину був би більш ефективний, так як він активується як раз в анаболічну фазу Серця в 19.00-20.00 - висока ефективність Гістидину для відновлення функції Серця і судинної системи підтверджується дослідженнями (4).
2	<i>Оваген</i> (підвищення функціональної активності Печінки). Склад: Лейцин, Глутамінова та Аспарагінова кислоти.	<i>Лейцин</i> (CUC, CUA, CUG, CUU) - по старшій і середній основі це активність меридіанів Перикарда і Шлунка за участю Сечового міхура, Панкреас, Легені і Трьох обігрівачів по молодшій основі. У добовій циркуляції Лейцин активний в період 21.00-23.00 в меридіані Трьох обігрівачів, а меридіан Трьох обігрівачів і Печінки входять в одну систему меридіанів. При цьому Три обігрівача знаходяться безпосередньо перед Печінкою і виконують функцію породження за канонами Старокитайської медицини. Крім того, Лейцин по середній та молодшій основі схожий з ізолейцином (його активність знаходиться в період добової активності Печінки в 01.00-3.00), а перша підстава лейцину (C) в порядку породження змінюється підставою (A) ізолейцин. Таким чином, Лейцин може сприяти поліпшенню роботи Печінки, але Ізолейцин працював би безпосередньо і потужніше.
3	<i>Карталакс</i> (підвищення функціональної активності хрящів). Склад: Аланін, Глутамінова та Аспарагінова кислоти.	<i>Аланін</i> (GCC, GCA, GCG, GCU) - по старшій і середній основі це активність меридіанів Жовчного міхура і Печінки за участю Сечового міхура, Панкреас, Легені і Трьох обігрівачів по молодшій основі. В добовій циркуляції Аланін резонує в періоди активності меридіанів Шлунка і Панкреас, вібрації яких (синій і зелений колір) формують вібрацію стихії Металу (бірюзовий колір). Метал в стародавній медицині в частині рідин організму відповідає за слиз (муцини - особливий підклас глікопротеїнів), які складають основу хрящової тканини. В амінокислотному складі муцинів переважають п'ять амінокислот: Аланін, Гліцин, Пролін, Треонін і Серін. <i>Висновок:</i> підтверджується вплив препарату на заявлені функції організму, але використання всього спектра п'яти амінокислот зробило б препарат більш ефективним.
4	<i>Пінеалон</i> (підвищення функціональної активності головного мозку). Склад: Аргінін, Глутамінова та Аспарагінова кислоти.	<i>Аргінін</i> (CGC, CGA, CGG, CGU) - по старшій і середній основі це активність меридіанів Перикарда і Тонкого кишечника за участю Сечового міхура, Панкреас, Легенів і Трьох обігрівачів по молодшій основі. В добовій циркуляції на схемі мал. 2 Аргінін бере участь в катаболічній функції Серця. Також перша і друга основа Аргініну (Перикард – Вогонь-Міністр і Тонкий кишечник - Ян Вогню) пов'язані з кровообігом. Відповідно до канонів старокитайської медицини "Перикард управляє кров'ю і зберігає розум". Окрім того, дослідження західної медицини указують на збільшення в крові оксиду азоту внаслідок прийому Аргініна. <i>Висновок:</i> прийом даного препарату посилює загальний

		кровообіг з акцентом на судини головного мозку, за рахунок чого поліпшується трофіка мозкових тканин.
5	<i>Крістаген</i> (нормалізація імунної системи). Склад: Пролін, Глутамінова та Аспарагінова кислоти.	<i>Пролін</i> (ССС, ССА, ССГ, ССУ) - по старшій і середній основі це активність меридіанів Перикарда і Печінки (обидві основи пов'язані зі стихією Дерева) за участю Сечового міхура, Панкреас, Легенів і Трьох обігрівачів. Пролін в нашій моделі на мал.2 працює в період активності Нирок 18.00-19.00. Нирки в китайській медицині пов'язані з функцією кісток, в тому числі і з кістковим мозком. А кістковий мозок є органом імунопоеза - тобто системою, яка виробляє імунні клітини. <i>Висновок</i> : препарат відповідає заявленим властивостям.
6	<i>Хонлутен</i> (нормалізація слизової оболонки бронхів). Склад: гліцин, Глутамінова та Аспарагінова кислоти.	<i>Гліцин</i> (GGC, GGA, GGG, GGU) - по старшій і середній основі це активність меридіанів Жовчного міхура і Тонкого кишечника за участю Сечового міхура, Панкреас, Легенів і Трьох обігрівачів. Як бачимо, старша основа Гліцину як і Аланіна (що входить до препарату), активує виробництво муцинів (слизу). З іншого боку, на схемі мал.2 Гліцин активізує катаболічні процеси в період активності Легенів 04.00-05.00. Відповідно, вплив препарату на функції слизу бронхів має підставу.

Мал. 13

Висновки

1. Таблиця мал.2 дозволяє здійснювати цілеспрямований вплив на органи і системи за допомогою амінокислот та впливати на відповідні акупунктурні меридіани в належний час (для відновлення нормальної динамічної рівноваги коливальних процесів в організмі).

2. Знайдені відповідності триплетів в розрізі функціональної активності Шлунка (*Ян система, активність частотних коливань синього кольору - стихія Води, що маніфестує руйнування і смерть*) зі значеннями відповідних триграм мал.7 в Книзі Змін: GUU-Військо; GUC-Роздроблення; GUA-Повторна небезпека; GUG- Недорозвиненість; GСС-Перелік; GСА-Перерозвиток великого; GСG- Жертovníк.

Використана література.

1. V.A. Karasev et al. (2005) A dodecahedron-based model of spatial representation of the canonical set of amino acids. In: Mathematical Biology and Medicine, Vol.8. International Conference. "Advances in Bioinformatics and Its Applications", World Scientific Publ. Co., 482-493.
2. Петухов С.В., «Матричная генетика, алгебры генетического кода, помехоустойчивость», издательство «Регулярная и хаотическая динамика», 2008 год, ISBN 978-5-93972-643-6.
3. Морозов В.Г., Г.А. Рыжак, В.В. Малинин, Е.И. Григорьев, В.Н. Рутковская «Цитогены. Биологически активные добавки к пище. Методические рекомендации», ООО «Издательско-полиграфическая компания «Коста», г. Санкт-Петербург, 2011.
4. Sharlene M Day, Margaret V Westfall, Ekaterina V Fomicheva, Kirsten Hoyer, Soichiro Yasuda, Nathan C La Cross, Louis G D'Alecy, Joanne S Ingwall & Joseph M Metzger «Histidine button engineered into cardiac troponin I protects the ischemic and failing heart», Nature Medicine 12, 181 - 189 (2006), Published online: 22 January 2006 | doi:10.1038/nm1346